

การสร้างแบบจำลองทางคณิตศาสตร์เพื่อศึกษาการทำงานของเครื่องยนต์ความร้อน ประสิทธิภาพสูงที่มีการเผาไหม้แบบสลับทิศทางการให้พลังงานไอโอดีในวัสดุพูน

Numerical Simulation of Super-Adiabatic Heat Engine with Reciprocating Combustion in Porous Media

นันธารัตน์ อินทอาอีบ และ สำเริง จักรใจ
ห้องปฏิบัติการวิจัยเครื่องยนต์และการเผาไหม้
ภาควิชาวิศวกรรมเครื่องกล คณะวิศวกรรมศาสตร์ มหาวิทยาลัยเทคโนโลยีพระจอมเกล้าธนบุรี
91 ถ.ประชาอุทิศ(สุขสวัสดิ์ 48) แขวงบางมด เขตทุ่งครุ กรุงเทพ 10140
ไทย (662)470-9128 โทรศัพท์ (662)470-9111 E-Mail: anant@kmutt.ac.th

Nantarat Intaoeb and Sumrerng Jugjai

Combustion and Engine Research Laboratory (CERL)

Department of Mechanical Engineering, Faculty of Engineering, King Mongkut's University of Technology Thonburi,
91 Pracha-Uthit Road (Suksawad 48) Bangmod, Thung Kharu District, Bangkok 10140

บทคัดย่อ

รายงานนี้กล่าวถึงการสร้างแบบจำลองทางคณิตศาสตร์เพื่อศึกษาการทำงานของเครื่องยนต์ความร้อนที่มีการเผาไหม้แบบสลับทิศทางการให้พลังงานไอโอดีในวัสดุพูน ระบบประกอบด้วยลูกสูบ 2 อัน และวัสดุพูนบางอยู่ในทรงกระบอก ลูกสูบอันแรก (Displacer piston) ทำหน้าที่บังคับทิศทางการให้พลังงานไอโอดีซึ่งมีส่วนผสมเชื้อเพลิง CH_4 กับอากาศ ส่วนลูกสูบอันหลังนี้เป็นลูกสูบกำลัง (Power piston) ทำหน้าที่ถ่ายทอดพลังงานกลเพื่อนำไปใช้งาน ลูกสูบทั้งสองจะทำให้เกิดการเคลื่อนที่กลับไปกลับมา (Reciprocating) ของแก๊สในระบบอุกตุณิช วัสดุพูนทำหน้าที่สะสมความร้อนโดยดูดซับพลังงานความร้อนของแก๊สร้อนไว้ก่อนถูกระบายออกจากกระบวนการเผาไหม้เพื่อนำไปอุ่นไอโอดีที่เข้ามาใหม่ในจังหวะต่อไป ก่อนให้เกิดการหมุนเรียนความร้อนจากไอโอดี การคำนวณเป็นแบบหนึ่งมิติ หาผลเฉลยโดยประมาณเบี่ยงเบี้ยงด้วยเชิง ทำให้ได้สภาวะการเผาที่สมบูรณ์มีอุณหภูมิที่สูงกว่าการทำทุกชั้น 340 K ในขณะที่อุณหภูมิของไอเสียมีค่าต่ำมาก มีความเข้มการเผาไหม้สูง ประสิทธิภาพทางความร้อนสูงกว่าวัյจักรอตโต 25% ช่วยประหยัดเชื้อเพลิง

Keywords:วัสดุพูน/เครื่องยนต์ความร้อนประสิทธิภาพสูง/การเผาไหม้

Abstract

This paper studies mathematical model of heat engine with reciprocating combustion in porous media. The system consists of two pistons and a thin porous medium in a cylinder, one being a displacer piston and the other a power piston. These create reciprocating motion of gas in cylinder. The residual combustion gas enthalpy is effectively regenerated to induce enthalpy increase in the mixture (preheat) through the porous medium, which provides heat storage. A one-dimension mathematical model of the system is formulated and solved by numerical method. Due to heat recirculation, the maximum temperature is higher than the theoretical 340 K, the exhaust gas is lower than the theoretical and the thermal efficiency is higher than Otto cycle 25%

Keywords: Porous Media/ Super-Adiabatic Heat Engine/ Combustion

1. NOMENCLATURE

| | |
|-----------------------|---|
| A | = frequency factor for combustion [s ⁻¹] |
| A _s | = surface area of equivalent sphere [m ²] |
| C _D | = thermal conductivity ratio = λ/λ_s |
| c _{vs} | = solid specific heat at constant volume [Jkg ⁻¹ K ⁻¹] |
| c _v | = gas specific heat at constant volume [Jkg ⁻¹ K ⁻¹] |
| D | = diffusivity [m ² s ⁻¹] |
| Da | = dimensionless permeability = k_{eq}/x_0 |
| d _s | = diameter of equivalent sphere of solid phase [m] |
| E | = activation energy [kJ/kmol] |
| h ₀ | = heating value of mixture [kJ kg ⁻¹] |
| H ₀ | = dimensionless combustion heat = $h_0/(c_v T_0)$ |
| HR | = dimensionless rate of reaction = $(h_0 x_0^2 W)/(c_v T_0 \mu)$ |
| k _{eq} | = permeability [m ²] |
| L | = length of connecting rod [m] |
| L _e | = Lewis number = $\lambda/(D c_v)$ |
| L _s | = crank ratio = $2r/x_0$ |
| M | = dimensionless area of particle = $(x_0^2 \alpha_s n_s A_s / \lambda)$ |
| n _s | = number density of particle [m ⁻³] |
| p | = pressure [N/m ²] |
| P | = dimensionless pressure = p/p_0 |
| r | = crank radius [m] |
| R | = universal gas constant [kJ/kmol K] |
| Re | = Reynolds number = $(\rho_0 \omega r x_0) / \mu$ |
| Rh | = dimensionless density = ρ/ρ_0 |
| T | = gas temperature [K] |
| T _s | = solid temperature [K] |
| TM _{ad} | = dimensionless adiabatic flame temperature = T_{ad}/T_0 |
| TM _{ad,comp} | = dimensionless adiabatic compression flame temperature = $T_{ad,comp}/T_0$ |
| TM | = dimensionless gas temperature = T/T_0 |
| TP | = dimensionless solid temperature = T_s/T_0 |
| t | = time [s] |
| u | = gas velocity [m s ⁻¹] |
| U | = dimensionless gas velocity = u/u_0 |
| v | = volume [m ³] |
| v ₀ | = volume of porous meia [m ³] |
| V | = dimensionless volume = v/v_0 |
| W | = reaction rate [kg m ⁻³ s ⁻¹] |
| x | = distance [m] |
| x ₀ | = length of porous meia [m] |
| X | = dimensionless distance = x/x_0 |
| Y | = product mole fraction |

Greek symbols

| | |
|---------------|---|
| λ | = gas thermal conductivity [W m ⁻¹ K ⁻¹] |
| λ_s | = ratio of connecting rod to crank radius = L/r |
| μ | = gas viscosity [kg m ⁻¹ s ⁻¹] |
| ρ | = gas density [kg m ⁻³] |
| α_s | = heat transfer coefficient [W/m ² K] |
| Γ | = thermal capacity ratio = $(\rho_s c_{vs})/(\rho c_v)$ |
| ω | = angular velocity [rad/s] |
| ϕ | = phase relation angle [degree] |
| η_{th} | = thermal efficiency |
| η_R | = Regenerator efficiency |
| θ_C | = crank angle of displacer piston [degree] |
| θ_3 | = temperature ratio = T_0/T_{max} |
| ε | = compression ratio |

Superscripts

| | |
|---|----------------------|
| + | = positive direction |
| - | = negative direction |

Subscripts

| | |
|-----|---------------|
| max | = maximum |
| min | = minimum |
| 0 | = inlet |
| g | = gas phase |
| s | = solid phase |

2. บทนำ

การเปลี่ยนพลังงานความร้อนให้เป็นพลังงานกลโดยอาศัยแนวความคิดของเครื่องยนต์สเตอร์ลิง (Stirling Engine)[1] รูปที่ 1 เครื่องยนต์ประกอบด้วยถุงสูบ 2 ถุงคือ Displacer Piston และ Power Piston ภายในบรรจุสารทำงาน (Working gas) มี Regenerator เป็นโครงถักทำจากเส้นโลหะอยู่กลางกระบอกสูบ ทำหน้าที่รับความร้อนจากสารทำงานและถ่ายเทความร้อนให้กับสารทำงาน มี Heater เป็นตัวให้ความร้อนทางด้านซ้ายและ Cooler เป็นตัวระบายความร้อนทางด้านขวา ระบบ Crank piston mechanism ทำให้ถุงสูบหันสองเกิดการเคลื่อนที่กลับไปกลับมา เป็นการสร้างจังหวะการไหลของ Working gas ในกระบอกสูบ Bellcrank และ Lever arm เป็นตัวทำให้ถุงสูบหันสอง เคลื่อนที่สัมพันธ์กันโดยมี Rocker เป็นตัวควบคุมมุมเฟส (Relation phase angle) ของ Displacer Piston และ Power Piston เครื่องยนต์มีการทำงานดังรูปที่ 4(a) และ 4(b)

- 1 → 2 เป็นกระบวนการ Constant temperature compression (heat rejection to external sink) Displacer Piston เคลื่อนที่ไปทางซ้ายในขณะที่ Power Piston อยู่ในช่วงขณะทำให้แก๊สถูกดันไปทางซ้ายทำให้ความดันสูงขึ้นด้วยกระบวนการอุณหภูมิคงที่ (Isothermal process) โดยมี Cooler เป็นตัวระบายความร้อนที่เพิ่มขึ้นจากการอัด ควบคุมให้อุณหภูมิแก๊สคงที่
- 2 → 3 เป็นกระบวนการ Constant volume regeneration (internal heat transfer from regenerator back to the working fluid) Displacer piston และ Power piston เคลื่อนที่ไปทางซ้ายพร้อมกันด้วยกระบวนการ

ปริมาตรคงที่ แกสจะได้รับความร้อนจาก Regenerator ทำให้อุณหภูมิสูงขึ้น

3 → 4 เป็นกระบวนการ Constant temperature expansion (heat addition from external source) แกสร้อนขยายตัวดัน Power piston เคลื่อนที่ไปทางซ้าย ขณะที่ Displacer piston ยังอยู่กับที่ ด้วยกระบวนการอุ่นหภูมิคงที่โดยมี Heater เป็นตัวให้ความร้อน ควบคุมให้อุณหภูมิแกสคงที่จนกระทั่งแกสร้อนตัวสูงสุด

4 → 1 เป็นกระบวนการ Constant volume regeneration (internal heat transfer from the working fluid to regenerator) Power Piston และ Displacer Piston เคลื่อนที่ไปทางขวาพร้อมกัน ด้วยกระบวนการปริมาตรคงที่ เพื่อดันแกสร้อนไปทางขวาผ่าน Regenerator แกสร้อนจะถ่ายเทความร้อนให้กับ Regenerator ทำให้แกสอุ่นหภูมิต่าลงเป็นการควบวงจารกรรมการทำงาน ข้อดีคือเครื่องยนต์มีประสิทธิภาพเชิงความร้อนสูงกว่าวัสดุจัดต่อ และวัสดุจัดตีเซล (ซึ่งเป็นเครื่องยนต์สันดาปภายใน) เสียงเบา มีอายุการใช้งานนาน เกิดมลพิษต่ำแต่มีข้อเสียคือไม่สามารถให้กำลังงานได้ทันทีทันใด เพราะเป็นเครื่องยนต์ที่มีการสันดาปภายใน (External Combustion Engine) เครื่องยนต์มีความซับซ้อนมากต้องการความรู้ทางเทคนิคสูง และราคาแพง ซึ่งแตกต่างจากเครื่องยนต์ที่มีการสันดาปภายใน (Internal Combustion Engine) เพราะเมื่อมีการสันดาปความร้อนที่เกิดขึ้นจะเปลี่ยนเป็นพลังงานกลให้กับสูญเสียเพื่อไปใช้งานได้ทันที อีกทั้งเครื่องยนต์สันดาปภายในก็ไม่ซับซ้อนมากนัก

เทคโนโลยีการเผาไหม้ในวัสดุพรุน (Porous Media)[2] ได้รับการศึกษาอย่างจริงจังและเข้าใจอย่างกระจังชักคล้ำคือเป็นการเผาไหม้แบบ 2 สถานะ คือมีสถานะของแข็ง (Solid phase) ซึ่งก็คือวัสดุพรุนและสถานะแกส (Gas phase) เนื่องจากวัสดุพรุนดังกล่าวมีลักษณะที่เด่นคือมีอัตราส่วนพื้นที่ผิวต่อปริมาตรสูงมีค่าการแพร์สี และคุณลักษณะความร้อน (Emissivity and Absorptivity) ที่สูงกว่าสถานะแกสมาก pragmatism การเกิดปฏิกิริยาทางเคมี และการถ่ายเทความร้อนในเวลาไฟจะแตกต่างอย่างสิ้นเชิงกับการเผาไหม้แบบ Single phase เพราะไม่เพียงแต่ขึ้นกับการนำความร้อนเท่านั้นแต่จะมีการแพร์สีจากวัสดุพรุนเข้ามาช่วยเสริมอีกด้วย ดังนั้นจึงทำให้เกิดสภาวะการเผาไหม้ที่เรียกว่า "Excess Enthalpy Combustion" หรือ "Super Adiabatic Combustion" กล่าวคือให้อุณหภูมิเปลวไฟที่สูงกว่าค่าทางทฤษฎีถึง 13 เท่า ประสิทธิภาพการเผาไหม้สูงและประหยัดเชื้อเพลิงกว่าการเผาไหม้แบบ Single phase ทั้งนี้เพราะวัสดุพรุนนั้นนอกจากจะทำหน้าที่เป็นห้องเผาไหม้แล้วยังทำหน้าที่เป็นเครื่องแยกเปลี่ยนความร้อนในเวลาเดียวกันอีกด้วย ก่อให้เกิดการหมุนเวียนความร้อนภายในระบบจากไฟเชิงรุนไปยังไฟเชิงเย็น J.G. Hoffmann[3] ยังได้ศึกษาการเผาไหม้ในวัสดุพรุนที่มีการสับทิศทางการไหลของไอดีอย่างเป็นจังหวะ พบร่วมกันที่เป็นเชื้อเพลิงที่มีค่าความร้อนต่ำและมีค่าความเร็วของแกสสูงๆได้

จากเหตุผลที่ได้กล่าวมาการศึกษานี้จึงได้พยายามประยุกต์ใช้การเผาไหม้ในวัสดุพรุนแบบสับทิศทางการไหลของแกสอย่างเป็นจังหวะกับเครื่องยนต์สเตอร์ลิงโดย Hanamura[4] เพื่อแก้ไขจุดอ่อน โดยเปลี่ยนจากการสันดาปภายในออกเป็นสันดาปภายในโดยทำการ

ปรับแต่งเครื่องยนต์สเตอร์ลิง รูปที่ 2 โดยติดตั้งวัสดุพรุน (Porous Media) แทนหุ้น Regenerator ไม่ใช้การทำงาน เพิ่ม Intake เพื่อเป็นทางเข้าของไอดีซึ่งมีส่วนผสมเชื้อเพลิง CH₄ กับอากาศ และเพิ่ม Outtake เพื่อเป็นทางระบายน้ำเสียออกจากกระบวนการอกสูบกลไกการเคลื่อนที่ยังคงเหมือนเดิม โดยมีลูกสูบ 2 อันเป็นตัวทำให้เกิดการสับทิศทางการไหลของแกสในกระบวนการอกสูบผ่านวัสดุพรุนที่ติดตั้งอยู่ภายในกระบวนการอกสูบ วัสดุพรุนทำหน้าที่เป็นห้องเผาไหม้และตัวแยกเปลี่ยนความร้อนทำให้ได้ประสิทธิภาพสูงถึง 58 % โดยไม่พิจารณาผลการเปลี่ยนแปลงความดันของแกสที่ไฟผ่านวัสดุพรุน คือกำหนดให้ความดันคงที่ (Pressure uniform) ในแต่ละ Crank angle งานวิจัยนี้ทำการศึกษาต่อจาก[4] โดยพิจารณาผลการเปลี่ยนแปลงความดันของแกสทุกตำแหน่งในกระบวนการอกสูบที่ Crank angle ต่างๆ ซึ่งเพิ่มความถูกต้องของการคำนวณสามารถคาดการณ์ได้ว่าจะทำให้ได้เครื่องยนต์ความร้อนที่มีประสิทธิภาพสูงและประหยัดพลังงานเป็นอย่างมาก ในการศึกษานี้ได้ทำการจำลองเครื่องยนต์ให้อยู่ใน รูปแบบจำลองทางคณิตศาสตร์ แล้วแก้สมการทางคณิตศาสตร์เพื่อหาโครงสร้างทางความร้อนของระบบ เช่น อุณหภูมิของแกส อุณหภูมิของแข็ง ความเร็วของแกส ความดันของแกส ความหนาแน่นของแกส และ Product mole fraction เพื่อทราบและเข้าใจถึง pragma การเผาไหม้และอิทธิพลของตัวแปรที่มีผลต่อสมรรถนะของเครื่องยนต์ คือเมื่อมีการอุ่นไอิด จะได้อุณหภูมิการเผาไหม้สูงขึ้นในขณะที่เชื้อเพลิงมีค่าความร้อนเท่าเดิม ทำให้ประสิทธิภาพทางความร้อนของเครื่องยนต์สูงขึ้น อีกทั้งอุณหภูมิของแกสอย่างที่ออกต่างๆ

3. แบบจำลองทางคณิตศาสตร์

รูปที่ 3 แสดงแบบจำลองทางคณิตศาสตร์ของเครื่องยนต์ความร้อนประสิทธิภาพสูง ขั้นตอนการทำงานเริ่มต้นจากจังหวะที่ 1 Displacer piston เคลื่อนที่ไปทางขวาทำให้ไอดีถูกดูดเข้ามาในกระบวนการอกสูบและเป็นการໄโล่เสียออกไปในเวลาพร้อมกัน จังหวะที่ 2 Displacer piston เคลื่อนที่ไปทางซ้าย ขณะที่ Power piston อยู่ในช่วงแรกทำให้ไอดีถูกดันไปทางซ้ายเพื่อรับความร้อนจากวัสดุพรุนที่ร้อน จังหวะที่ 3 oids เกิด Ignition ตามด้วยการเผาไหม้ในวัสดุพรุน เกิดการขยายตัวของแกส ความดันสูงขึ้นและดัน Power piston ไปทางซ้ายขณะที่ Displacer piston อยู่ในช่วงต้น จังหวะที่ 4 แกสร้อนขยายตัวสูงสุด Displacer piston ยังอยู่กับที่ จังหวะที่ 5 Power piston และ Displacer piston เคลื่อนที่ไปทางขวาพร้อมกัน เพื่อดันไอดีร้อนผ่านวัสดุพรุน วัสดุพรุนจะทำหน้าที่ดูดซับพลังงานความร้อนของแกสไอดีร้อนก่อนถูกระบายนอกจากกระบวนการอกสูบเพื่อการอุ่นไอิดในจังหวะต่อไปทำให้มีอุณหภูมิสูงขึ้นอย่างมีประสิทธิภาพก่อนการเผาไหม้เป็นการควบวงจารกรรมการทำงาน สมมุติฐานหลักที่ใช้พิจารณาการไหลของไอดีและ การถ่ายเทความร้อนในทิศทางเดียว ลูกสูบหงส์สองเคลื่อนที่ด้วยระบบ Crank-Piston Mechanism วัสดุพรุน ประกอบด้วยของแข็งเนื้อเดียวกันและมีช่องว่างของอากาศกระจายอย่างสม่ำเสมอ การเผาไหม้จะดำเนินการเป็น One-step first order reaction แบบ Arrhenius คุณสมบัติเชิงฟิสิกส์คงที่ ยกเว้นความหนาแน่นของแกส วัสดุพรุนไม่เป็นตัวร่วงปฏิกิริยา การถ่ายเทความร้อนมีค่าเท่ากับการถ่ายเทมวล (Lewis number = 1) ผิวของ Power piston เป็นจนวน ส่วนผิวของ Displacer piston มีอุณหภูมิ T_0 ไม่พิจารณาการแผ่รังสีของวัสดุพรุน

ต้องวัดคุณภาพความหนาเชิงแสงสูงมากพิจารณาการไฟล์แบบนี้
ความหนืด

4. สูตรของระบบ (เฉพาะในวัสดุพื้น)

Continuity equation

$$\frac{\partial \rho}{\partial t} + \frac{\partial (\rho u)}{\partial x} = 0 \quad (1)$$

Momentum equation

$$\rho \frac{\partial u}{\partial t} + \rho u \frac{\partial u}{\partial x} = - \frac{\partial p}{\partial x} + \mu \frac{\partial^2 u}{\partial x^2} - \frac{\mu}{k_{eq}} u \quad (2)$$

$$k_{eq} = \frac{1}{3\pi d_s n_s} \quad (3)$$

Gas phase energy conservation equation

$$\rho c_v \frac{\partial T}{\partial t} + \rho c_v u \frac{\partial T}{\partial x} = \lambda \frac{\partial^2 T}{\partial x^2} - \alpha_s n_s A_s (T - T_s) - \frac{\partial (\rho u)}{\partial x} + h_o W \quad (4)$$

Solid phase energy conservation equation

$$\rho_s c_{vs} \frac{\partial T_s}{\partial t} = \lambda_s \frac{\partial^2 T_s}{\partial x^2} + \alpha_s n_s A_s (T - T_s) \quad (5)$$

Species equation

$$\rho \frac{\partial Y}{\partial t} + \rho u \frac{\partial Y}{\partial x} = D \frac{\partial^2 Y}{\partial x^2} + W \quad (6)$$

Ideal gas equation

$$p = \rho R T \quad (7)$$

ส่วนอัตราการเกิดปฏิกิริยา W หาได้จาก

$$W = AP(1 - Y) \exp(-E/RT) \quad (8)$$

Displacement equation

$$x = \frac{x_0}{2} + r \left\{ 1 + \cos \theta_c - \lambda_p \left(1 - \sqrt{1 - \frac{\sin^2 \theta_c}{\lambda_p^2}} \right) \right\} \quad (9)$$

5. Boundary conditions และ Initial conditions

5.1 Boundary conditions

ที่ผ้า displacer piston $T = T_0, Y = 0$ $\quad (10)$

ที่ผ้า power piston $\frac{\partial T}{\partial x} = 0, \frac{\partial Y}{\partial x} = 0$ $\quad (11)$

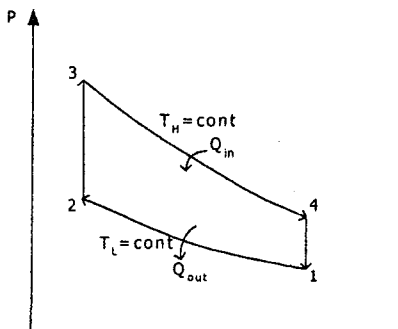
5.2 Initial conditions

ใช้ผลการคำนวณจาก [4] เป็นเงื่อนไขเริ่มต้นในการคำนวณ

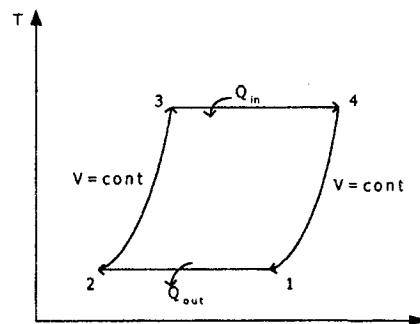
5.3 Method of solution

สมการข้างต้นจะถูกเปลี่ยนให้อยู่ในรูปสมการ finite-difference และแก้สมการ โดยใช้วิธี implicit finite difference เพื่อหาค่าต่อเนื่องความหนาแน่น(ρ) ความเร็ว(u) การกระจายอุณหภูมิของกําช(T) อุณหภูมิของของแข็ง(T_s) product mole fraction ของผลิตภัณฑ์(Y) และความดัน(p)

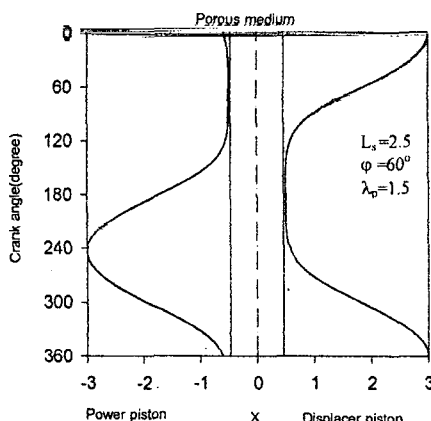
การคำนวณเริ่มจากหยุดเวลาที่ crank angle (θ_c) = 0 องศา หาค่าตัวแปร Displacer piston และ Power piston จากรูปที่ 5 แบ่งระยะทางจากผ้า Displacer piston ถึงผ้า Power piston ออกเป็น 100 meshes นา Initial conditions [4] มาเป็นค่าเริ่มต้น คำนวณค่าจากขวาไปซ้าย (Forward) หาค่าความหนาแน่น(ρ) ความเร็ว(u) การกระจายอุณหภูมิของแก๊ส(T) อุณหภูมิของของแข็ง(T_s) product mole fraction ของผลิตภัณฑ์(Y) ความดัน(p) โดยวิธีการคำนวณซ้ำ (iterative procedure) จนกว่าทั้งผลลัพธ์ที่คำนวณได้ถูกเข้าหาค่าตอบโดยมี convergence criterion = 10^{-5} จากนั้นทำการเสื่อนเวลาไปที่ crank angle (θ_c) = 1 องศา หยุดเวลาไว้หากำลัง Displacer piston และ Power piston จากรูปที่ 5 คำนวณหาผลลัพธ์โดยใช้ผลลัพธ์ที่คำนวณได้จาก crank angle (θ_c) = 0 องศา เป็นค่าเริ่มต้น ทำการคำนวณจากขวาไปซ้าย (Forward) ทีละ 1 องศา จนถึง 240 องศา หลังจากนั้นที่ crank angle (θ_c) = 240 องศา จากรูปที่ 5 พบว่า Power piston และ Displacer piston เคลื่อนที่ไปทางขวา ดันแกสร้อนให้เหล็กซ้ายไปขวา การคำนวณจึงต้องคิดจากซ้ายไปขวา (Backward) โดยใช้ผลลัพธ์ที่คำนวณได้จาก crank angle (θ_c) = 240 องศา เป็นค่าเริ่มต้นสำหรับการคำนวณที่ crank angle พิจารณาอยู่จนกระทั่งครบ 360 องศา (1 รอบ)



รูปที่ 4(a) P-V diagram ของ Stirling cycle



รูปที่ 4(b) T-s diagram ของ Stirling cycle



รูปที่ 5 ตำแหน่งของ Displacer และ Power piston ที่ Crank angle ต่างๆ

6. ผลและการวิจารณ์

รูปที่ 6 แสดงความหนาแน่น(ρ_h) ความเร็ว(U) การกระจายอุณหภูมิของก๊าซ(T_M) อุณหภูมิของของแข็ง(TM) product mole fraction ของผลิตภัณฑ์(Y) ความดัน(P) อัตราการเกิดปฏิกิริยา(HR) ในรูปของตัวแปรรีสเทียนที่ $Crank angle(\theta_c) = 0, 60, 120, 180, 240$ และ 300 องศา ตามลำดับ โดยใช้ค่าจากตารางที่ 1 รูปที่ 6(a) $\theta_c = 0$ องศา Displacer piston อยู่ที่ตำแหน่ง $X=3$ (Bottom dead center) Power piston อยู่ใกล้กับวัสดุพรุน เป็นจังหวะอัดไอเดียเข้ากระบวนการสูบพร้อมๆกับไอลோเสียงออกจากกระบวนการสูบอย่างทันทีทันใด $U=0$ นั่นคือ แกสกำลังจะเปลี่ยนทิศทางการไหลจากขวาไปซ้าย ไอลோจะไหลเข้าแทนไอลோเสียง แต่ค่า Y ยังคงเป็น 1 ที่บริเวณใกล้กับ Power piston เนื่องจากยังไม่เสียติดค้างอยู่ในกระบวนการสูบ อุณหภูมิแกสเท่ากับ T_0 ($T_M=0$) (b) Displacer piston เคลื่อนที่ไปทางซ้ายในขณะที่ Power piston อยู่กับที่ (Top dead center) เป็นการอัดไอเดียเมื่อช่วงการอัดตั้งแต่ $Crank angle(\theta_c) = 0$ องศา ถึง 60 องศา P สูงขึ้นด้วย ไอลோจะเคลื่อนที่ไปทางซ้ายค่า U จึงเป็นลบ (c) Displacer piston และ Power piston เคลื่อนที่ไปทางซ้ายพร้อมกันบังคับให้แกสร้อนไอลோผ่านวัสดุพรุนเพื่อรับความร้อนเป็นการอุ่นไอลோและเผาไหม้ในขณะเดียวกัน P สูงขึ้น T_M จะสูงขึ้นไม่มากนักเนื่องจากพลังงานความร้อนจากการเผาไหม้ส่วนใหญ่จะถูกใช้ในการเพิ่มความดันให้สูงขึ้น เพื่อก่อให้เกิดงานต่อไป (d) เป็นจังหวะเผาไหม้และขยายตัวของแกสร้อน Displacer piston อยู่ติดกับวัสดุพรุน(Top dead center) Power piston เคลื่อนที่ไปทางซ้าย ด้วยความเร็วสูง เนื่องจากแกสร้อนความดันสูงค่าอุณหภูมิสูงสุดที่ได้จะสูงกว่าค่าอุณหภูมิทางทฤษฎี (T_{ad}) [ภาคผนวก ข] และค่าอุณหภูมิทางทฤษฎีกรณีที่มีการอัด ($T_{ad,comp}$) [ภาคผนวก ช] (e) Power piston เคลื่อนที่ถึง(Bottom dead center) เป็นการขยายตัวสูงสุด จากนั้นทั้ง Power piston และ Displacer piston เคลื่อนที่ไปทางขวาพร้อมกัน ดันไอลோเสียงอุณหภูมิสูงให้เคลื่อนที่ผ่านวัสดุพรุน P มีค่าเป็นนาวากแสดงถึงแกสร้อนที่ไปทางขวาผ่าน

วัสดุพรุน (f) วัสดุพรุนดูดซับความร้อนของแกสร้อนทำให้อุณหภูมิไอลோเสียงที่ออกต่ำลง ลูกสูบหันกลับจะเคลื่อนที่ดันไอลோเสียงผ่านวัสดุพรุนจนกระทั่ง 360 องศา เป็นการครอบครองจังหวะการทำงานของเครื่องยนต์เพระหั้ง Displacer piston และ Power piston ต่างก็เคลื่อนที่ไปໄต่ 360 องศาเท่ากัน

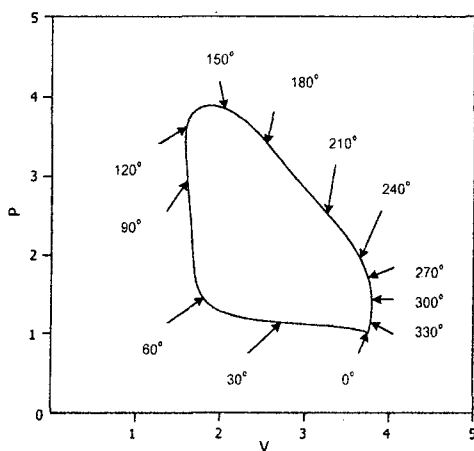
รูปที่ 7 แสดง P-V Diagram ที่ Crank angle(θ_c) ต่างๆ $\theta_c = 0$ องศา ถึง 60 องศา เป็นช่วงการอัด P สูงขึ้น V ลดลง $\theta_c=60$ องศา ถึง 120 องศา เป็นช่วงการอุ่นไอลோและเผาไหม้ในขณะเดียวกัน P สูงขึ้นมาก V คงที่ $\theta_c=120$ องศา ถึง 240 องศา เป็นช่วงการเผาไหม้และขยายตัว P ลดลง V เพิ่มขึ้น $\theta_c=240$ องศา ถึง 360 องศา แกสร้อนเมื่อไอลோผ่านวัสดุพรุนด้วย V คงที่ จะถูกดูดซับความร้อน P ลดลง ครอบการทำงาน 1 รอบ

รูปที่ 8 แสดงค่าความร้อนต่ำสุดของเชื้อเพลิงที่ทำให้เครื่องยนต์สามารถทำงานได้ จากราฟเฟอร์เจองยนต์สามารถทำงานที่สภาวะ Lean ได้ คือใช้เชื้อเพลิงที่มีค่าความร้อนต่ำเครื่องยนต์สามารถเผาไหม้เชื้อเพลิงและทำงานจนครบวงจรได้โดยการคำนวณสัดส่วนจาก HIR TM ยังคงมีแนวโน้มเหมือนเดิม มีค่าเทียบเท่ากับการเพิ่มอุณหภูมิทางทฤษฎีกรณีที่มีการอัด ($T_{ad,comp}$) 199 K และมีค่าใกล้เคียงกับผลการคำนวณของ Hanamura [4]

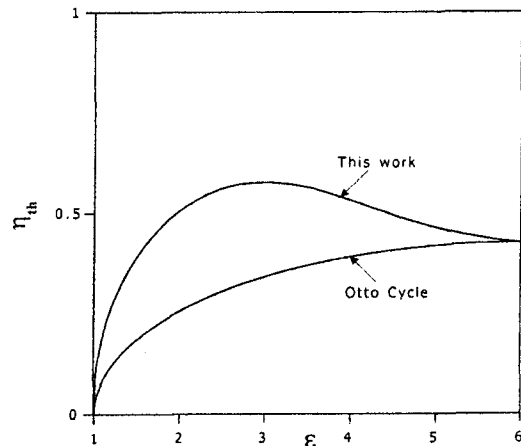
รูปที่ 9 แสดงประสิทธิภาพทางความร้อน (η_{th}) [ภาคผนวก ก] ของเครื่องยนต์ความร้อนประสิทธิภาพสูง ในช่วง Compression ratio (E) ต่ำ ค่า η_{th} จะสูงกว่า Otto cycle เมื่อจากอิทธิพลของการอุ่นไอลோวัสดุพรุน ทำให้ได้อุณหภูมิการเผาไหม้สูงขึ้น η_{th} จึงสูงขึ้น เมื่อเพิ่ม E อิทธิพลของการอุ่นไอลோวัสดุพรุนมีผลน้อย (อุกราฟฟู่รูปที่ 2.ก ในภาคผนวก) แต่อิทธิจากการอัดมีค่าเพิ่มขึ้นทำให้ η_{th} มีค่าเท่ากับ Otto cycle

ตารางที่ 1 ค่าที่ใช้ในการคำนวณ

| Parameter | Value |
|--------------------|------------|
| C_D | 1 |
| Da | 10^{-3} |
| E | 130 kJ/mol |
| H_0 | 1.7 |
| Le | 1 |
| L_s | 2.5 |
| M | 160000 |
| r | 2.5 cm. |
| Re | 2000 |
| T_0 | 300 K |
| X_0 | 2.0 cm. |
| Length of cylinder | 12 cm. |
| Γ | 3000 |
| Φ | 60 องศา |
| λ_p | 1.5 |



รูปที่ 7 P-V Diagram ที่ Crank angle ต่างๆ



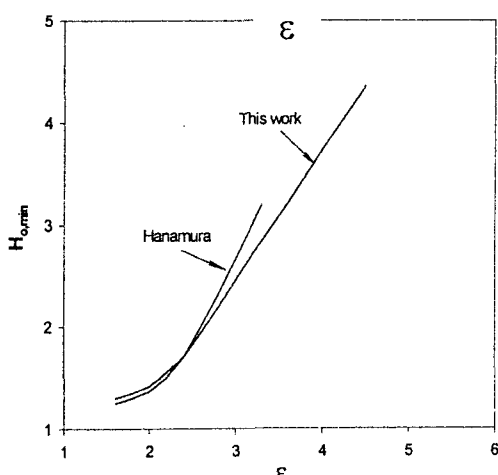
รูปที่ 9 ประสิทธิภาพทางความร้อน

7. สรุป

แบบจำลองทางคณิตศาสตร์ของเครื่องยนต์ความร้อนประสิทธิภาพสูงที่มีการเผาไหม้แบบลับทิศทางในวัสดุพูน ได้สภาวะการเผาที่สมบูรณ์เมื่ออุณหภูมิสูงกว่าค่าอุณหภูมิทางทฤษฎี (T_{ad}) 340 K และค่าอุณหภูมิทางทฤษฎีที่มีการอัด ($T_{ad,comp}$) 210 K ในขณะที่ อุณหภูมิของไอเสียมีค่าต่ำมากมีความเข้มการเผาไหม้สูง ประสิทธิภาพทางความร้อนสูงกว่าวัฏจักรอtot 25% ในช่วง Compression ratio (ϵ) =3 และเมื่อ Compression ratio (ϵ) เพิ่มขึ้นก็จะมีประสิทธิภาพเท่ากับวัฏจักรอtot โดย

เอกสารอ้างอิง

- [1] Issiki, N., 1988, 4th International Conference on string Engines, pp.99-104
- [2] Hanamura, K., Echigo, R. and Zhdanok, S.A., 1993, "Superadiabatic Combustion in a Porous Medium," International Journal Heat and Mass Transfer, Vol.36, No.13, pp.3201-3209.
- [3] J.G. Hoffmann, R. Echigo, Shigeru Tada and H.Yoshida "Analytical study on flammable limits of reciprocating superadiabatic combustion in porous media Proceeding," 8th International Symposium on Transport Phenomena in Combustion, SanFrancisco, CA, 1995, Vol.2, pp. 1430-1440
- [4] Hanamura, K., Miyairi, Y., 1997, " Reciprocating Heat Engine with Super-adiabatic Combustion in Porous Media," Transport Phenomena in combustion, Vol.1, pp.701-710



รูปที่ 9 ขนาดความร้อนที่ส่งผ่านของแก๊สในเครื่องยนต์ความร้อนที่มีการเผาไหม้แบบลับทิศทาง

ทำงานได้ สามารถทำงานได้